

استفاده از معادلات دینامیکی کاپل ترمومو استیسیته در تحلیل جداره موتور راکت های سوخت جامد

ناصر رهبر^۱

تهران - دانشگاه صنعتی مالک اشتر

(تاریخ وصول: ۹۰/۱/۲۲ ، تاریخ پذیرش: ۹۰/۵/۱)

چکیده

انتقال حرارت بیش از حد موجب نقايس مهمنی در راکت های خواهد شد. از جمله این نقايس می توان به کاهش خواص مکانیکی مواد و یا ذوب شدن جداره در اثر بالا رفتن دما اشاره نمود. از سوی دیگر در اثر توزیع غیر یکنواخت درجه حرارت به خصوص در موتورهای سوخت جامد، تنش های حرارتی علاوه بر تنش های مکانیکی به وجود خواهند آمد. محاسبه توزیع دما و تنش های مکانیکی و حرارتی در جداره موتور راکت های مورد توجه طراحان بوده است. در این مقاله نحوه محاسبه تنش های مکانیکی و حرارتی جداره موتور راکت های سوخت جامد با استفاده از روابط دینامیکی کاپل ترمومو استیسیته ارائه شده است. بدین منظور ابتدا معادلات دیفرانسیل حاکم بر مسئله بدست آمده و برای حل این معادلات از روش المان های محدود کمک گرفته شده است. سپس روش ارائه شده بر روی یک راکت واقعی مورد آزمایش قرار گرفته و اثر عایق حرارتی در کاهش دمای جداره و تنش های مکانیکی نشان داده شده است.

واژه های کلیدی: توزیع دما، تنش های حرارتی، ترمومو استیسیته، موتور راکت سوخت جامد، روش المان های محدود.

تنش های حرارتی علاوه بر تنش های مکانیکی به وجود خواهند آمد. محاسبه توزیع دما و تنش های مکانیکی و حرارتی در جداره استوانه های جدار نازک و ضخیم مورد توجه طراحان بوده است [۱-۱۰]. طی تحقیقات سلطانی و همکارانش، معادلات دینامیکی ترمومو استیسیته حاکم بر استوانه جدار نازک به شکل دستگاه معادلات استاندارد مرتبه دوم از زمان تبدیل گردیده تا بتوان با استفاده از روش های موجود مانند روش نیومارک به حل آن پرداخت، ولی حل عددی انجام نشده است [۵]. فرشیدیان و همکارنش نیز، نتایج حل عددی را برای استوانه های جدار نازک و

۱- مقدمه

در هنگام اشتعال راکت ها، مقدار قابل ملاحظه ای از حرارت گاز های ناشی از احتراق به جداره موتور و سایر اجزای آنها منتقل می شود. هدف اصلی طراحی آن است که این انتقال حرارت منجر به نقص در عملکرد موتور و مجموعه کل راکت نگردد [۱-۴]. انتقال حرارت بیش از حد، موجب نقايس مهمنی در راکت های خواهد شد از جمله این نقايس می توان به کاهش خواص مکانیکی مواد و یا ذوب شدن جداره در اثر بالا رفتن دما اشاره نمود. از سوی دیگر در اثر توزیع غیر یکنواخت درجه حرارت به خصوص در موتورهای سوخت جامد، تنش های حرارتی علاوه بر تنش های مکانیکی به وجود خواهند آمد. محاسبه توزیع دما و تنش های مکانیکی و حرارتی در جداره موتور راکت های سوخت جامد با استفاده از روابط دینامیکی کاپل ترمومو استیسیته ارائه شده است. بدین منظور ابتدا معادلات دیفرانسیل حاکم بر مسئله بدست آمده و برای حل این معادلات از روش المان های محدود کمک گرفته شده است. سپس روش ارائه شده بر روی یک راکت واقعی مورد آزمایش قرار گرفته و اثر عایق حرارتی در کاهش دمای جداره و تنش های مکانیکی نشان داده شده است.

جدارهای استفاده گردد و یا اینکه معادلات ترمولاستیسیته معمولی نیز می‌توانند با دقت خوب جهت تحلیل تنش و درجه حرارت مورد استفاده قرار گیرند.

2- حالت کلی معادلات دینامیکی ترمولاستیسیته
روابط حاکم بر اجسام و قطعاتی که در معرض بارهای دینامیکی، مکانیکی و حرارتی با تغییرات شدید نسبت به زمان قرار دارند بنام معادلات دینامیکی ترمولاستیسیته¹ نامیده می‌شوند و شامل معادلات تعادل دینامیکی، معادلات سازگاری (روابط تغییر مکان-کرنش)، معادلات بنیادی یا هوك (روابط بین تنش و کرنش) و معادله انرژی (اصل اول ترمودینامیک) می‌باشند. حالت تانسوری این معادلات در مختصات دکارتی به صورت زیر بیان می‌شوند [11]:

$$\text{معادلات تعادل دینامیکی } \rho \ddot{u}_i = 0 \quad (1)$$

$$\varepsilon_{ij} = \frac{1}{2}(u_{i,j} + u_{j,i}) \quad (2)$$

$$(3) \text{ معادلات بنیادی}$$

$$\tau_{ij} = 2\mu\varepsilon_{ij} + \lambda\varepsilon_{kk}\delta_{ij} - (3\lambda + 2\mu)\alpha^*(T - T_0)\delta_{ij} \\ \bar{T}_{,ii} - \frac{1}{a}\dot{T} - \frac{(3\lambda + 2\mu)\alpha^*T_0}{k}\dot{\varepsilon}_{ii} = -\frac{Q}{a} \quad (4)$$

در معادلات فوق ε_{ij} تانسور تغییر مکان بوده و μ, λ بنام ضرایب لامه² نامیده شده و از روابط زیر بدست می‌آیند:

$$\lambda = \frac{vE}{(1+v)(1-2v)} = \frac{vE}{(1-v-2v^2)} \quad (5)$$

$$\mu = \frac{E}{2(1+v)} \quad (6)$$

با جایگزین نمودن معادلات (2) در (3) و سپس در (1) معادلات تعادل دینامیکی بر حسب مؤلفه‌های تغییر مکان و درجه حرارت به صورت زیر بدست می‌آیند:

$$\mu u_{i,kk} + (\lambda + \mu)u_{k,ki} - (3\lambda + 2\mu)\alpha^*T_{,i} = \rho \ddot{u}_i \quad (7)$$

با جایگزینی ε_{ii} از رابطه (2) در (4)، معادله انرژی بر حسب مؤلفه‌های تغییر مکان و درجه حرارت به صورت زیر درمی‌آید:

$$\bar{T}_{,ii} - \frac{1}{a}\dot{T} - \frac{(3\lambda + 2\mu)\alpha^*T_0}{k}\dot{u}_{i,i} = -\frac{Q}{a} \quad (8)$$

جدارهای خیم بدست آورده و با هم مقایسه نمودند. در این پژوهش نتیجه گرفته شده که در حالت اعمال فشار داخلی پاسخ دینامیکی دارای نوسان حول پاسخ استاتیکی است و حداقل تنش مماسی در حالت دینامیکی بیش از دو برابر استاتیکی است و برای استوانه‌های جدار ضخیم اختلاف میان پاسخ به حل دینامیکی وابسته و غیروابسته ناچیز بوده و این اختلاف کمتر از 2% است [6]. در تحقیقات رحیمیان و همکارانش، بجای استفاده از روش المان‌های محدود، از روش تبدیل معکوس لاپلاس به روش عددی جهت دستیابی به تغییرات درجه حرارت و تنش‌ها استفاده شده و نتیجه‌گیری شده که به ازای نیروی دینامیکی اعمال شده تغییرات درجه حرارت جسم زیاد نیست در حالی که به ازای تغییرات درجه حرارت دینامیکی اندک، تنش‌های به وجود آمده در استوانه نسبتاً زیاد هستند [7]. حکیم الهی و همکارانش توزیع درجه حرارت در جداره استوانه جدارنازک بصورت سه‌موی را تخمین زده و اظهار نموده اند هنگامی که ثابت زمانی اغتشاشات حرارتی قابل قیاس با ثبات زمانی اغتشاشات مکانیکی سیستم باشد، احتیاج به حل همزمان میدان توزیع تنش و درجه حرارت در قطعه می‌باشد [8]. باهتوبی و همکارش هم نمونه‌هایی از استوانه‌های چندلایه با مواد فلزی و سرامیکی تحت صرفاً شوک حرارتی را مورد تجزیه و تحلیل قرار دادند [9 و 10].

از آنجائی که موتور راکت‌ها تا هدف از راکت جدا نمی‌شود لذا سیکبودن آن در فرآیند طراحی از اهمیت ویژه‌ای برخوردار است. در این مقاله نحوه محاسبه تنش‌های مکانیکی و حرارتی همچنین توزیع دما در جداره موتور راکت‌های سوخت‌جامد با استفاده از روابط دینامیکی کابل ترمولاستیسیته ارائه شده است. بدین منظور ابتدا معادلات دیفرانسیل حاکم بر مسئله بدست آمده و برای حل این معادلات از روش المان‌های محدود کمک گرفته شده است. سپس روش ارائه شده بر روی یک راکت واقعی پیاده شده و اثر عایق حرارتی در کاهش دمای جداره و تنش‌های مکانیکی مورد بررسی قرار گرفته است. هدف اصلی مقاله این است که در کاربردهای عملی، آیا شوک و فشار و حرارتی در محفظه احتراق راکت‌ها در حدی است که لازم باشد از معادلات دینامیکی کابل ترمولاستیسیته برای تحلیل تنش در

1-Dynamic Thermoelastic Equations
2- Lame

شرط اولیه روی u و T عبارتند از $u(r,0) = 0, T(r,0) = 0$ و در این صورت شرایط مرزی در مرز داخلی $r = r_i$ به صورت زیر در می‌آید:

$$(\lambda + 2\mu) \frac{\partial u}{\partial r} + \lambda \frac{u}{r} - \gamma(T - T_0) - f^*(t) = 0 \quad (18)$$

$$\frac{\partial T}{\partial r} - \beta_1^*[T - g^*(t)] = 0 \quad (19)$$

و در مرز بیرونی $r = r_o$

$$(\lambda + 2\mu) \frac{\partial u}{\partial r} + \lambda \frac{u}{r} - \gamma(T - T_0) = 0 \quad (20)$$

$$\frac{\partial T}{\partial r} - \beta_2^* T = 0 \quad (21)$$

که در آن $\beta_1^* = h_1 / K$, $\beta_2^* = h_2 / K$ می‌باشند. همچنین توابع f^*, g^* به ترتیب دما و فشار اعمال شده روی جداره داخلی استوانه بوده و در زمان اولیه پیوسته می‌باشند. حال مجموعه متغیرهای بی بعد زیر تعریف می‌شوند:

$$\bar{T} = \frac{T - T_0}{T_0}, \quad \bar{r} = \frac{r}{r_i}, \quad \tau = \frac{c_1 t}{r_i}, \quad \bar{u} = \frac{u}{r_i} \quad (22)$$

پس از انجام عملیات جبری، معادلات (12) و (13) به دو معادله بی بعد زیر تبدیل می‌شوند:

$$-\frac{\partial}{\partial \bar{r}} \left(r \frac{\partial \bar{u}}{\partial \bar{r}} \right) + \frac{\bar{u}}{\bar{r}} + \bar{r} \ddot{\bar{u}} + \lambda_2 \bar{r} \frac{\partial \bar{T}}{\partial \bar{r}} = 0 \quad (23)$$

$$-\frac{\partial}{\partial \bar{r}} \left(\bar{r} \frac{\partial \bar{T}}{\partial \bar{r}} \right) + \bar{c} \bar{r} \ddot{\bar{T}} + \bar{c} \lambda_1 \frac{\partial}{\partial \bar{r}} (\bar{r} \ddot{\bar{u}}) = 0 \quad (24)$$

که در آن $\bar{c} = c_1 r_i / a$, $\lambda_1 = \eta a / T_0$, $\lambda_2 = m T_0$ می‌باشند. با انتخاب متغیرهای بی بعد، شرایط مرزی نیز در مرز داخلی $\bar{r} = 1$ به صورت زیر تغییر می‌کنند:

$$\frac{\partial \bar{u}}{\partial \bar{r}} + \alpha \frac{\bar{u}}{\bar{r}} - \lambda_2 \bar{T} - f(\tau) = 0 \quad (25)$$

$$\frac{\partial \bar{T}}{\partial \bar{r}} - \beta_1 \bar{T} + \beta_1 g(\tau) = 0 \quad (26)$$

و شرایط مرزی در مرز بیرونی $\bar{r} = r_o / r_i$ به صورت زیر در می‌آیند:

$$\frac{\partial \bar{u}}{\partial \bar{r}} + \alpha \frac{\bar{u}}{\bar{r}} - \lambda_2 \bar{T} = 0 \quad (27)$$

$$\frac{\partial \bar{T}}{\partial \bar{r}} + \beta_2 \bar{T} = 0 \quad (28)$$

که در آن:

معادلات (7) و (8) معادلات حاکم بر مسائل دینامیکی ترمومالاستیسیته هستند و همانطوری که ملاحظه می‌شود به جهت همگیر (کوپله) بودن، روش حل تحلیلی برای این معادلات وجود ندارد. صورت دیگر این معادلات که از حالت تانسوری خارج شده است به صورت زیر نمایش داده می‌شود [12-13]:

$$\mu \nabla^2 \underline{u} + (\lambda + \mu) \text{grad} \text{div} \underline{u} + \underline{F} - \gamma \text{grad} T = \rho \dot{\underline{u}} \quad (9)$$

$$\nabla^2 T - \frac{1}{a} \dot{T} - \eta \text{div} \dot{\underline{u}} = -\frac{Q}{a} \quad (10)$$

که در آن:

$$\begin{cases} \gamma = (3\lambda + 2\mu)\alpha^* \\ \eta = \frac{\gamma T_0}{\rho c a} = \frac{\gamma T_0}{k} \end{cases} \quad (11)$$

از آنجائی که لوله موتور راکت‌ها به شکل استوانه‌ای بوده و در یک استوانه تقارن وجود دارد، لذا بردار تغییر مکان \underline{u} به تغییر مکان شعاعی u کاهش می‌یابد و مولفه مماسی آن مساوی صفر در نظر گرفته خواهد شد. همچنین $\underline{F} \equiv 0$, $Q \equiv 0$ فرض می‌شود. در صورتی که توابع درجه حرارت و فشار اعمال شده مستقل از زاویه θ و طول استوانه باشند آنگاه معادلات (9) و (10) با فرض صفحه‌ای بودن تنش‌ها ($\varepsilon_z = \sigma_z = 0$) در یک استوانه به صورت زیر ساده می‌شوند:

$$-\frac{1}{r} \frac{\partial}{\partial r} \left(r \frac{\partial u}{\partial r} \right) + \frac{u}{r^2} + \frac{\ddot{u}}{c_1^2} + m \frac{\partial T}{\partial r} = 0 \quad (12)$$

$$-\frac{1}{r} \frac{\partial}{\partial r} \left(r \frac{\partial T}{\partial r} \right) + \frac{\dot{T}}{a} + \eta \frac{1}{r} \frac{\partial}{\partial r} (r \dot{u}) = 0 \quad (13)$$

در معادلات (12) و (13) متغیرهای m, c_1 از روابط زیر بدست می‌آیند:

$$m = \frac{\gamma}{(\lambda + 2\mu)} \quad (14)$$

$$c_1^2 = \frac{(\lambda + 2\mu)}{\rho} \quad (15)$$

از سوی دیگر تنش‌های شعاعی و مماسی در استوانه از رابطه (3) و به صورت زیر بدست می‌آیند:

$$\sigma_r = (\lambda + 2\mu) \frac{\partial u}{\partial r} + \lambda \frac{u}{r} - \gamma(T - T_0) \quad (16)$$

$$\sigma_\theta = (\lambda + 2\mu) \frac{u}{r} + \lambda \frac{\partial u}{\partial r} - \gamma(T - T_0) \quad (17)$$

$$[CT1]\dot{\underline{L}} + \frac{1}{c}[KT1]\underline{T} + \lambda_1[CU1]\dot{\underline{U}} = \underline{F}^{(1)} \quad (33)$$

که در آن $N \times N$ [KU2], [MU2]، ... ماتریس‌های سه قطری هستند. جزئیات بدست آوردن این ماتریس‌ها در مرجع [13] آورده شده است.

4- روش حل دستگاه معادلات

برای حل دستگاه معادلات دیفرانسیل (32) و (33) از روش GIM⁴ استفاده می‌شود [14]. برای سهولت کار، این معادلات مجموعاً در یک معادله در نظر گرفته می‌شوند:

$$M\ddot{\underline{X}} + C\dot{\underline{X}} + K\underline{X} = \underline{F} \quad (34)$$

که در آن:

$$\underline{X} = \{\underline{U}, \underline{T}\}^T \quad (35)$$

$$M = \begin{bmatrix} MU2 & 0 \\ 0 & 0 \end{bmatrix}, \quad (36)$$

$$K = \begin{bmatrix} KU2 & \lambda_2 KT2 \\ 0 & \frac{1}{c} KT1 \end{bmatrix},$$

$$C = \begin{bmatrix} 0 & 0 \\ \lambda_1 CU1 & CT1 \end{bmatrix}$$

$$\underline{F} = \{\underline{F}^{(2)} \mid \underline{F}^{(1)}\} \quad (37)$$

معادله دیفرانسیل (34) را می‌توان از مرتبه دوم به صورت معادله دیفرانسیل مرتبه اول از زمان کاهش داد:

$$A\dot{\underline{Y}} = B\underline{Y} + \underline{F} \quad (38)$$

که در آن:

$$\underline{Y} = \{\dot{\underline{U}}, \underline{U}, \underline{T}\}^T \quad (39)$$

$$A = \begin{bmatrix} MU2 & 0 & 0 \\ 0 & I & 0 \\ 0 & 0 & CT1 \end{bmatrix} \quad (40)$$

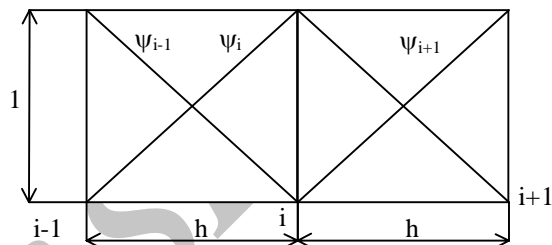
$$B = \begin{bmatrix} 0 & -KU2 & -\lambda_2 KT2 \\ I & 0 & 0 \\ -\lambda_1 CU1 & 0 & -\frac{1}{c} KT1 \end{bmatrix}$$

$$\underline{F} = \{\underline{F}^{(2)}, 0, \underline{F}^{(1)}\}$$

$$\beta_1 = \beta_1^* r_i, \beta_2 = \beta_2^* r_i, \alpha = \lambda / (\lambda + 2\mu), g(\tau) = [g^*(t) - T_0] / T_0, f(\tau) = f^*(t) / (\lambda + 2\mu)$$

3- انتخاب توابع تقریب جابجایی و دما

برای جداسازی توابع تقریب جابجایی و دما از روش گلرکین¹ استفاده می‌شود. در این روش تابع شکلی² بصورت خطی فرض شده و در نتیجه ماتریس‌های جرمی و هدایت به صورت سازگار³ به دست خواهد آمد (شکل 1).



شکل 1- روش گلرکین.

در روش گلرکین فرض می‌شود که حل تقریبی معادلات (23) و (24) به ترتیب \tilde{u} و \tilde{T} بوده و آنها را می‌توان بر حسب تابع شکلی $\Psi_i(r)$ به صورت زیر بیان نمود:

$$\tilde{u} = \sum_{i=0}^n \psi_i(r) u_i(\tau) \quad (29)$$

$$\tilde{T} = \sum_{i=0}^n \psi_i(r) T_i(\tau) \quad (30)$$

که در آن n تعداد گره‌ها (شامل دو گره مرزی) است. مقادیر u_i و T_i به ترتیب مقادیر تقریبی جابجایی و دما در گره‌ها هستند. جاگذاری معادله اخیر در معادلات (23) الی (28) و ارضا نمودن شرط:

$$\int_{r_i}^{r_o} R_k \psi_j(r) dr = 0, \quad j = 0, 1, 2, \dots, n, \quad k = 1, 2 \quad (31)$$

که در آن R_1 و R_2 باقیمانده‌های محاسبه شده در جاگذاری‌های بیان شده می‌باشند. با انجام انتگرال‌گیری و مقداری عملیات جبری در نهایت به دو معادله جبری زیر خواهیم رسید:

$$[MU2]\ddot{\underline{U}} + [KU2]\underline{U} + \lambda_2[KT2]\underline{T} = \underline{F}^{(2)} \quad (32)$$

- 1-Galerkin
- 2-Shape Function
- 3-Consistent

بررسی قرار می‌گیرد در این حالت فرض می‌شود که جداره داخلی بدون عایق بوده اما اثر عایق به صورت کاهش ضریب انتقال حرارت جلنجایی در جداره داخلی موتور به صورت زیر ظاهر شود [17]:

$$h_{l_c} = \frac{h_l C_k}{C_k + h_l r_i \ln\left(\left(r_i + \frac{C_t}{2}\right) / r_i\right)} \quad (44)$$

در رابطه اخیر h_{l_c} ضریب جدید انتقال حرارت جلنجایی می‌باشد. مثال جدیدی با داده‌های زیر شبیه‌سازی گردید:

$$\begin{aligned} a &= 1.27 \times 10^{-5}, C_k = 1, C_t = 1\text{mm}, E = 2 \times 10^{11}, h_l = 5000 \\ h_2 &= 200, K = 54, N = 20, P_i = 80 \times 10^5 \text{ Pa}, r_i = 114\text{mm} \\ r_o &= 119\text{mm}, Bt = 4\text{sec}, T_c = 2260^\circ\text{C}, T_0 = 30^\circ\text{C} \\ \alpha^* &= 1.17 \times 10^{-5}, \rho = 7833, v = 0.3 \end{aligned}$$

شکل 4 نشانگر کاهش دما در جداره داخلی در اثر استفاده از عایق حرارتی می‌باشد. در این شکل در پایان زمان سوزش دمای جداره داخلی در حالت بدون عایق 1370°C و در حالت با عایق تا 587°C کاهش یافته است. در شکل 5 تغییرات درجه حرارت با گذشت زمان در ضخامت جداره عایق دار (گره‌های مختلف) نشان داده شده است. با توجه به این شکل جداره داخلی سریعتر از جداره خارجی گرم می‌شود. اشکال 6 و 7 به ترتیب تنش مماسی و شعاعی در جداره داخلی را در دو حالت با عایق و بدون عایق نشان می‌دهند. همان‌طوری که ملاحظه می‌شود استفاده از عایق، کاهش قابل توجه‌های در اندازه این دو تنش ایجاد نموده است لذا استفاده از عایق علاوه بر کاهش دمای جداره و تنش‌های حرارتی موجب افزایش ضریب اطمینان نیز خواهد شد. با توجه به منحنی‌های فشار و تنش ملاحظه می‌گردد عامل دینامیکی که باعث توسان و ارتعاش تنش‌های مماسی و شعاعی باشد در منحنی‌ها مشاهده نمی‌شود از این موضوع می‌توان استفاده نمود که فشار و حرارت وارد به جداره موتورهای سوخت جامد در حدی نیست که بتواند عامل وابستگی بین معادلات تنش و انرژی را ایجاد نماید لذا نتیجه ارزشمندی که از نتایج حاصل می‌شود آن است که می‌توان معادلات را در حالت ترمومالاستیسیته غیروابسته (غیرهمگیر) فرض نموده و هر کدام را جداگانه حل نمود.

با استفاده از متده GIM معادله زیر به دست می‌آید:

$$\begin{aligned} [A - \Delta\tau\theta B] \underline{Y}^{i+1} &= [A + \Delta\tau(1-\theta)B] \underline{Y}^i + \\ \Delta\tau[\theta \underline{F}^{i+1} + (1-\theta) \underline{F}^i] \end{aligned} \quad (41)$$

که در آن $0 \leq \theta \leq 1$ خواهد بود انتخاب مقدار θ بستگی به نوع مسئله مورد مطالعه، پایداری، دقیقت محاسبات و صرفه‌جوئی در حافظه کامپیوتر دارد. نشان داده شده است که بهترین انتخاب $\theta = 0.667$ می‌باشد [15-16]. همچنین در حل مسائل انتقال حرارت، انتخاب نمو زمانی و مکانی مستقل از یکدیگر نیستند. شرط پایداری در حل معادلات آن است که $\frac{(\Delta\tau)^2}{a\Delta t} \geq 2$ باشد [17]. در انتخاب اندازه نمو زمان و مکان در این مقاله این شرط منظور شده است.

5- نتایج و بحث

قبل از بکارگیری روش المان‌های محدود¹ لازم است که نتایج بدست آمده از آن با نتایج حل یک مثال ساده تحلیلی مقایسه شود. بدین منظور فرض می‌شود یک استوانه توخالی طویل با شعاع داخلی a و شعاع خارجی b تحت فشار داخلی P_i قرار دارد. فشار خارجی برابر فشار محیط و دمای جداره نیز همان دمای محیط می‌باشد. در نتیجه تنش‌های حرارتی صرف‌نظر می‌گردند. تنش‌های شعاعی و مماسی در نقطه‌ای به شعاع r از مرکز سیلندر از رابطه زیر بدست می‌آیند [18]:

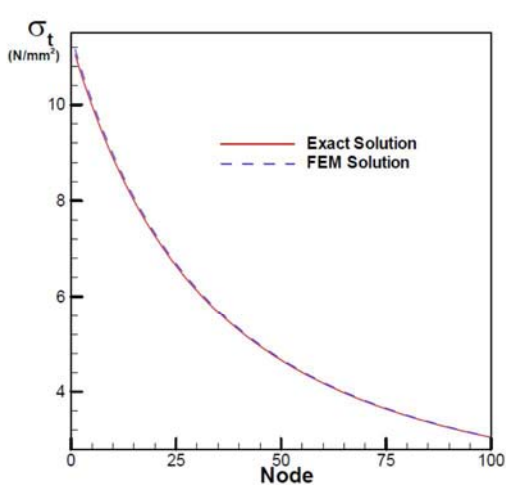
$$\sigma_r = \frac{a^2 P_i}{b^2 - a^2} \left(1 + \frac{b^2}{r^2}\right) \quad (42)$$

$$\sigma_t = \frac{a^2 P_i}{b^2 - a^2} \left(1 - \frac{b^2}{r^2}\right) \quad (43)$$

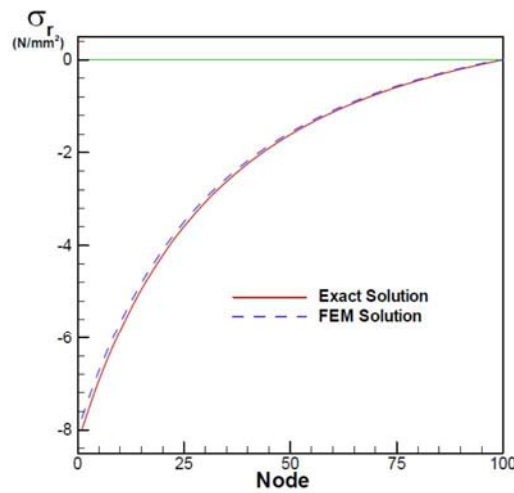
شبیه‌سازی با مقادیر زیر اجرا گردید:

$$a = 50\text{mm}, b = 125\text{mm}, P_i = 80 \times 10^5 \text{ Pa}, N = 100$$

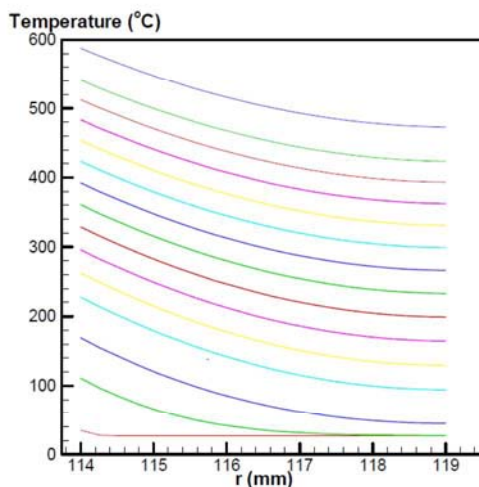
مقایسه نتایج بدست آمده از حل تحلیلی و حل FEM در اشکال 2 و 3 امکان‌پذیر است. با توجه به منحنی‌های بدست آمده دقت بدست آمده از روش FEM قبل قبول بوده و به خوبی با نتایج حل تحلیلی مطابقت می‌نمایند. در این قسمت تأثیر عایق حرارتی بر روی توزیع درجه حرارت و تنش‌ها مورد



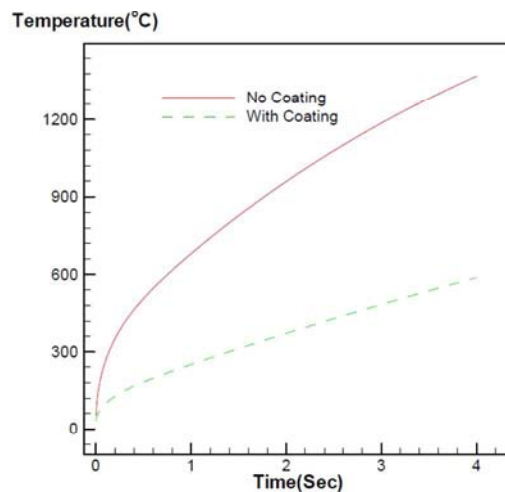
شکل 3- تنش مماسی در یک استوانه تحت فشار.



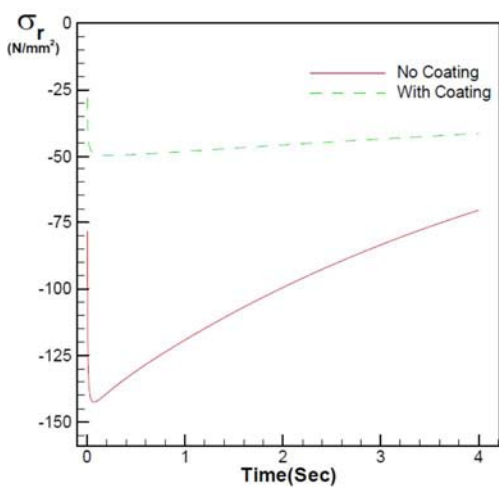
شکل 2- تنش شعاعی در یک استوانه تحت فشار.



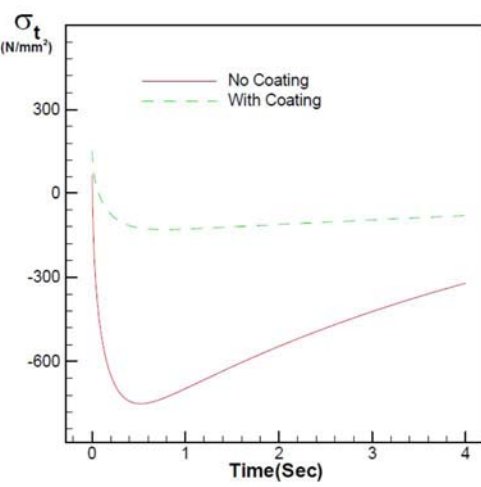
شکل 5- دمای جداره موتور در زمان‌های متوالی.



شکل 4- مقایسه اثر عایق بر روی دمای جداره داخلی.



شکل 7- تنش شعاعی در جداره داخلی موتور.



شکل 6- تنش مماسی در جداره داخلی موتور.

فهرست علائم یونانی

$$\begin{aligned}\alpha^* &= ضریب انبساط حرارتی (K/10) \\ \epsilon_{ij} &= تانسور کرنش \\ \rho &= جرم مخصوص (kg/m^3) \\ \tau_{ij} &= تانسور تنش (N/m^2) \\ \mu, \lambda &= ثابت‌های لامه (N/m^2) \\ \gamma &= ضریب پواسون \\ \sigma_r &= تنش مماسی (N/m^2) \\ \sigma_t &= تنش شعاعی (N/m^2)\end{aligned}$$

مراجع

- [1] Fortescue, P.; Swinerd, G.; Stark, J. "Spacecraft Systems Engineering."; 4ed, Wiley, 2011.
- [2] Cornelisse, J. W.; Schoyer, H. F. R.; Wakker, K. F. "Rocket Propulsion and Space Flight Dynamics."; Pitman Publishing, London, 1979.
- [3] Davenas, A. "Solid Rocket Propulsion Technology."; Elsevier Science, Inc, Pergamon Press. 1992.
- [4] Sutton, G. P.; Biblarz, O. "Rocket Propulsion Elements: An Introduction to the Engineering of Rockets."; 7ed, Wiley, 2000.
- [5] سلطانی ناصر، "حکیم الهی بهزاد، بدست آوردن معادلات دینامیکی ترمولاستیسیته در استوانه جدارنازک برای حل به روش اجزاء محدود"، مجموعه مقالات پنجمین کنفرانس سالانه مهندسی مکانیک، انجمن مهندسان مکانیک ایران، تبریز، اردیبهشت 1376، ص 895-887.
- [6] فرشیدیان فر اتوشیروان، شیرازی سید کاظم، صالح رضا و اولیاء محمد، "حل عددی مسائل ترمولاستیسیته وابسته دینامیکی برای مقاطع دور استوانه‌ای تحت شوک‌های فشاری و حرارتی"، مجموعه مقالات پنجمین کنفرانس سالانه مهندسی مکانیک، انجمن مهندسان مکانیک ایران، تبریز، اردیبهشت 1376، ص 1111-1109.
- [7] رحیمان محمد، اسکندری قادری مرتفعی و حیدرپور علیرضا، "حل تحلیلی مسائل ترمولاستیسیته وابسته دینامیکی در محیط استوانه‌ای (قسمت دوم: حل عددی)", شریه دانشکده فنی، جلد 32، شماره یک، خرداد 1378 ص 57 تا 70.
- [8] حکیم الهی بهزاد و سلطانی ناصر، "حل معادلات وابسته ترمولاستیسیته دینامیکی در استوانه جدار نازک تحت اثر شوک‌های فشار، برش و درجه حرارت با استفاده از روش اجزاء محدود"، نشریه دانشکده فنی دوره 33، شماره 3، آذر 86، ص 73 تا 86.
- [9] Bahtui, A.; Eslami, M. R. "Coupled Thermoelasticity of Functionally Graded Cylindrical Shells."; Mechanics Research Communications 2007, 34, 1-18.
- [10] Bahtui, A.; Eslami M. R. "Coupled Thermoelasticity of FG Thin Shells: Effect of Temperature Field Across the Thickness."; 8th. World Congress on Computational Mechanics (WCCM8) & 5th. European Congress on Computational Methods in Applied Sciences and Engineering (ECCOMAS 2008) Venice, Italy, July 2008.

6- نتیجه‌گیری

در این مقاله نحوه محاسبه تنש‌های مکانیکی و حرارتی همچنین توزیع دما در جداره موتور راکت‌های سوخت جامد با استفاده از روابط دینامیکی کاپل ترمولاستیسیته ارائه شده است. بدین منظور ابتدا معادلات دیفرانسیل حاکم بر مسئله بدست آمده و برای حل این معادلات از روش المان‌های محدود کمک گرفته شده است. سپس روش ارائه شده بر روی یک راکت واقعی مورد آزمایش قرار گرفته و اثر عایق حرارتی در کاهش دمای جداره و تنش‌های مکانیکی نشان داده شده است. نتایج بدست آمده نشان‌گر آن است که استفاده از یک لایه نازک عایق حرارتی کاهش قابل ملاحظه‌ای در درجه حرارت و تنش‌های حرارتی ایجاد نموده و در نهایت ضریب اطمینان افزایش خواهد یافت. نتیجه‌گیری دیگر آن است که فشار و حرارت وارد به جداره موتورهای سوخت جامد در حدی نیست که بتواند عامل واپسگی بین معادلات تنش و انرژی را ایجاد نماید لذا می‌توان معادلات را در حالت ترمولاستیسیته غیروابسته (غیرهمگیر) فرض نموده و هر کدام را جداگانه حل نمود.

فهرست علائم انگلیسی

$$\begin{aligned}a &= ضریب نفوذپذیری حرارتی (m^2/sec) \\ b &= شعاع داخلی و خارجی لوله موتور (m) \\ c &= گرمای ویژه یا ظرفیت گرمایی (J/kg K) \\ C_t &= ضخامت عایق (m) \\ h_1 &= ضریب انتقال حرارت جابجایی در مرز داخلی (J/m^2 sec K) \\ K &= ضریب هدایت حرارتی لوله (J/m sec K) \\ P_i &= فشار داخل لوله (N/m^2) \\ r &= شعاع (m) \\ T &= درجه حرارت (K) \\ u &= جابجایی یا تغییر مکان (m) \\ Bt &= زمان سوزش موتور سوخت جامد (sec) \\ C_k &= ضریب هدایت حرارتی عایق (J/m sec K) \\ E &= مدول الاستیسیته (N/m^2) \\ h_2 &= ضریب انتقال حرارت جابجایی در مرز خارجی (J/m^2 sec K) \\ N &= تعداد گره‌ها در ضخامت استوانه \\ Q &= نرخ انرژی تولیدی در واحد حجم (sec) \\ T_0 &= درجه حرارت اولیه یا محیط (K) \\ T_c &= درجه حرارت گازهای حاصل از احتراق (K)\end{aligned}$$

- [15] Zamal, M. "The Mathematics of Finite Element and Application(II)."; Academic Press pp. 85-104, 1975.
- [16] Zienkiewicz, O. C. "Finite Element Method."; 6ed. McGraw-Hill. 2005.
- [17] Holman, J. P. "Heat Transfer."; McGraw-Hill, 10ed 2009.
- [18] Shigley, J. E.; Mitchell, L. D. "Mechanical Engineering Design."; 8ed McGraw-Hill. 2006.
- [11] Boley, B. A.; Winner, J. H. "Theory of Thermal Stresses."; Dover Publications Incorporated, 1997.
- [12] Nowacki, W. "Thermoelasticity."; Addison-Wesley, 1962.
- [13] Ghoneim, Y. Y.; Li, H.; Chen, Y. "A Numerical Method in Solving a Coupled Thermoelasticity Equation and Some Results."; Journal of Thermal Stresses 1983, 6(25), 253–280.
- [14] Richtmeyer, R. D.; Morton, K. W. "Difference Method for Initial-Value Problems."; Krieger Publishing Company, 2ed 1994.